



# Estudo radiográfico do acesso endoscópico transforaminal L5-S1 em uma amostra da população brasileira

## *Radiographic Study of L5-S1 Transforaminal Endoscopic Access in a Sample from the Brazilian Population*

Yoshinobu Nagasse<sup>1</sup> Caio Justino Lima<sup>1</sup>  João Pedro Alves Ferreira<sup>1</sup> Edgar Takao Utino<sup>2</sup>  
João Paulo Bergamaschi<sup>3</sup> Helton Luís Aparecido Defino<sup>4</sup>

<sup>1</sup> Departamento de Ortopedia e Traumatologia, Hospital Municipal Dr. Cármino Caricchio (Hospital do Tatuapé), São Paulo, SP, Brasil

<sup>2</sup> Especialização em Ortopedia e Traumatologia, Faculdade de Ciências Médicas da Santa Casa de São Paulo, São Paulo, SP, Brasil

<sup>3</sup> Curso de Especialização em Cirurgia Endoscópica da Coluna Vertebral, Faculdade de Medicina de Ribeirão Preto, Universidade de São Paulo, Ribeirão Preto, SP, Brasil

<sup>4</sup> Departamento de Ortopedia e Traumatologia, Faculdade de Medicina de Ribeirão Preto, Universidade de São Paulo, Ribeirão Preto, SP, Brasil

Endereço para correspondência Yoshinobu Nagasse, MD, MSc, Avenida Ibirapuera 2.907, conjunto 509, Indianópolis, CEP: 04029-200, São Paulo, SP, Brasil (e-mail: alphaortopedia@terra.com.br).

Rev Bras Ortop 2024;59(6):e847–e853.

### Resumo

**Objetivo** Avaliar radiografias da coluna lombar utilizando as classificações de Choi e Patgaonkar, e verificar parâmetros que possam influenciar o acesso transforaminal L5–S1.

**Métodos** Cento e sessenta e sete radiografias de coluna lombossacra de pacientes maiores de 18 anos, sem históricos de cirurgias, tumores, fraturas ou escoliose, foram estudadas. Aferiu-se a altura da crista ilíaca e o ângulo da borda do ilíaco. Os casos foram categorizados conforme morfologia pélvica, presença de megapófise e classificações de Choi e de Patgaonkar.

**Resultados** Setenta e cinco casos exibiram pelve androide, e 92 ginecoide. A média da altura do ilíaco foi de  $25,9 \pm 7,5$  cm, e do ângulo de borda do ilíaco foi de  $23,4 \pm 7,5$  graus. A pelve ginecoide mostrou menor altura do ilíaco. Segundo a classificação de Patgaonkar, 63 casos indicaram acesso suprailíaco; pela classificação de Choi, 37 foram considerados aptos para acesso suprailíaco e 106 para acesso suprailíaco com foraminoplastia.

**Conclusão** Pelves ginecoides tiveram menor altura do ilíaco. Além disso, 37,7% dos casos foram aptos para acesso suprailíaco pela classificação de Patgaonkar. De acordo com a classificação de Choi, 22,1% estavam aptos para o acesso suprailíaco e 63,4% foram considerados aptos para acesso suprailíaco com foraminoplastia.

### Palavras-chave

- ▶ crista ilíaca
- ▶ discectomia percutânea
- ▶ hérnia de disco
- ▶ procedimentos cirúrgicos minimamente invasivos

*Trabalho desenvolvido no Hospital Municipal Dr. Cármino Caricchio (Hospital do Tatuapé), São Paulo, SP, Brasil.*

### recebido

17 de outubro de 2023

### aceito

14 de novembro de 2023

DOI <https://doi.org/>

10.1055/s-0044-1793824.

ISSN 0102-3616.

© 2024. The Author(s).

This is an open access article published by Thieme under the terms of the Creative Commons Attribution 4.0 International License, permitting copying and reproduction so long as the original work is given appropriate credit (<https://creativecommons.org/licenses/by/4.0/>).

Thieme Revinter Publicações Ltda., Rua do Matoso 170, Rio de Janeiro, RJ, CEP 20270-135, Brazil

## Abstract

**Objective** This study evaluated lumbar spine radiographs using the Choi and Patgaonkar classifications to verify parameters potentially influencing the L5–S1 transforaminal approach.

**Methods** We studied 167 lumbosacral spine radiographs from patients over 18 years old with no history of surgeries, tumors, fractures, or scoliosis to measure the iliac crest height and rim angle. We categorized the cases per pelvic morphology, megapophysis presence, and Choi and Patgaonkar classifications.

**Results** Seventy-five cases had an android pelvis and 92 had a gynecoid pelvis. The mean iliac height was  $25.9 \pm 7.5$  cm, and the rim angle was  $23.4 \pm 7.5$  degrees. The gynecoid pelvis showed a lower iliac height. According to Patgaonkar, 63 cases indicated a suprailiac approach, and per the Choi classification, 37 were suitable for a suprailiac approach and 106 for a suprailiac approach with foraminoplasty.

**Conclusion** Gynecoid pelvises had a lower iliac height. Furthermore, 37.7% of the cases were suitable for a suprailiac approach per the Patgaonkar classification. The Choi classification indicated a suprailiac approach for 22.1% of the cases and a suprailiac approach with foraminoplasty for 63.4% of the subjects.

## Keywords

- ▶ discectomy, percutaneous
- ▶ disc herniation
- ▶ iliac crest
- ▶ minimally invasive surgical procedures

## Introdução

A cirurgia endoscópica transforaminal é baseada no triângulo de Kambin.<sup>1</sup> Esta estrutura anatômica é delimitada pelo platô superior da vértebra, pelo saco dural e pela raiz emergente. O espaço dentro deste triângulo representa um corredor de segurança livre de estruturas nobres. O surgimento de instrumentais compactos o suficiente para se adaptarem a este espaço permitiram o desenvolvimento do acesso transforaminal (TF).<sup>2,3</sup> Nesta abordagem, a cânula de trabalho fica alinhada com o disco intervertebral e atravessa o triângulo de segurança com mínima lesão e preservação da articulação, permitindo assim uma recuperação precoce e maior preservação da estabilidade articular.<sup>4</sup>

Entretanto, a abordagem transforaminal (TF) no nível L5–S1 é única devido à crista ilíaca, pois a cânula é introduzida superiormente ao disco intervertebral para evitar obstruções pelo ilíaco, resultando em alinhamento mais angulado em relação ao disco, denominado acesso suprailíaco (SI). Quando a crista ilíaca é proeminente, o acesso SI pode ser inviável, requerendo perfuração da crista, originando o acesso transilíaco (TI). Osman e Marsolais<sup>5</sup> validaram a segurança do acesso TI em estudos com cadáveres, mas há preocupações quanto a lesões, sangramentos e dor intraoperatórios.

O acesso TF apresenta benefícios, pois permite a decompressão foraminal, evita manipulação das raízes e é possível realizá-la sob sedação.<sup>6</sup> Choi et al.<sup>7</sup> postulou que pacientes cujas radiografias da coluna em perfil demonstram uma crista ilíaca situada acima da metade inferior do pedículo de L5 tendem a enfrentar desafios significativos no acesso TF. Por sua vez, Patgaonkar et al.<sup>8</sup> propôs uma classificação delineando quando é apropriado optar por uma abordagem SI ou TI.

O objetivo deste trabalho foi avaliar radiografias de coluna lombar através das classificações de Choi<sup>7</sup> e de Patgaonkar et al.,<sup>8</sup> aferir parâmetros que possam influenciar no acesso

transforaminal L5–S1, e verificar a presença de megapófise na amostra avaliada.

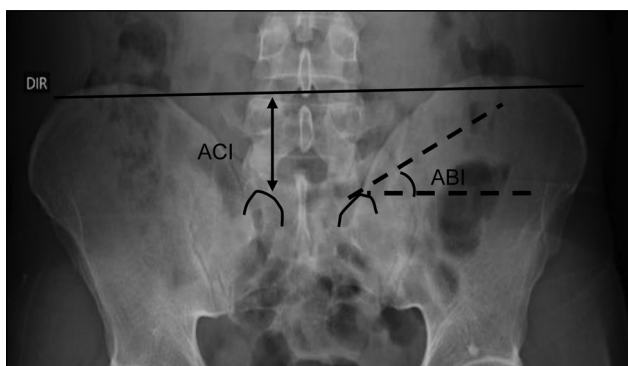
## Materiais e Métodos

Foi realizado um estudo transversal com radiografias da coluna lombar realizadas em nossa instituição, onde foram coletadas radiografias de coluna lombossacra, realizadas no período de 4 meses. Foram incluídos pacientes com idade maior que 18 anos, com radiografia com visualização adequada, e excluídos aqueles com presença de cirurgia de coluna lombar prévia, lesões tumorais, fraturas e escoliose.

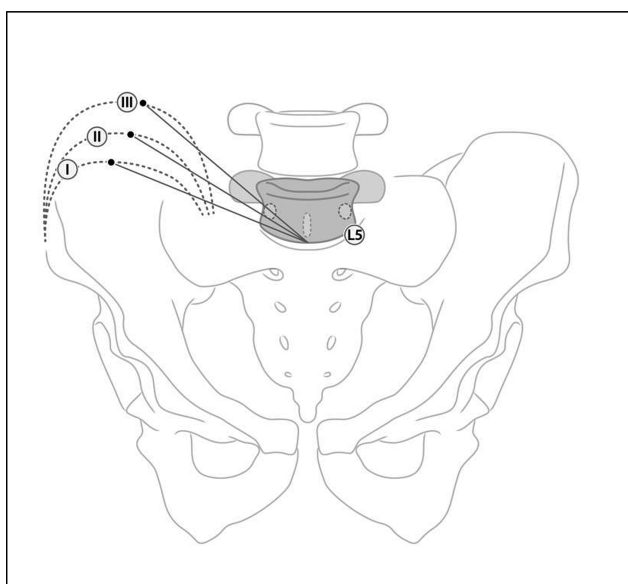
As radiografias foram avaliadas pelo sistema Myvue, versão 11.2.2.3 (Carestream Health, Rochester, NY, Estados Unidos). Na radiografia frontal foram medidas a altura da crista ilíaca (ACI), representada pela distância vertical entre a linha que tangencia os topos das cristas ilíacas e a borda superomedial da articulação de S1; e o ângulo da borda do ilíaco (ABI), aferido no cruzamento da linha horizontal com a linha que passa pela borda súpero medial da articulação de S1 e tangencia a borda medial do ilíaco (►Fig. 1). A bacia foi classificada como androide ou ginecoide conforme sua morfologia, e foi realizada classificação de megapófise conforme proposto por Castellvi apud Konin e Walz.<sup>9</sup>

A classificação de Patgaonkar et al.,<sup>8</sup> aplicada na radiografia anteroposterior, avalia a relação do pedículo de L5 com uma linha traçada do topo da crista ilíaca ao centro do platô inferior da vértebra de L5. No tipo I, a linha está abaixo do pedículo, no tipo II, a linha passa tangente à borda inferior do pedículo, e no tipo III, a linha cruza o pedículo (►Fig. 2). Conforme Patgaonkar et al.,<sup>8</sup> pacientes classificados como tipo III têm indicação de abordagem TI. Os tipos I e II foram agrupados como abordagem SI, e o tipo III como abordagem TI.

Nesta mesma classificação há uma avaliação na radiografia de perfil, que usa o topo da crista ilíaca e a borda superior e inferior do pedículo de L5. No tipo I, a crista ilíaca está abaixo



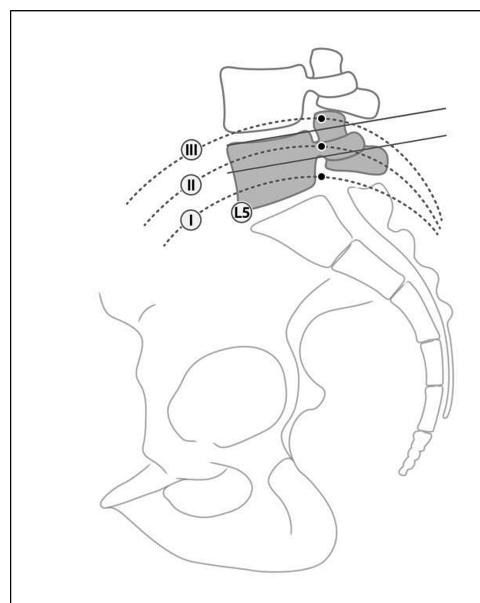
**Fig. 1** Altura de crista ilíaca (seta dupla): distância entre borda superomedial da articulação L5-S1 vertebral e a linha que tangencia o topo das cristas ilíacas. Ângulo de borda de ilíaco (linha pontilhada): ângulo entre horizontal e linha que passa pela borda superomedial da articulação L5-S1 e tangencia a borda medial da crista ilíaca.



**Fig. 2** Classificação Patgaonkar em radiografia anteroposterior Tipo I: a linha entre o ponto mais alto da crista ilíaca e o centro do platô inferior de L5 passa abaixo do pedículo de L5; tipo II: a mesma linha passa tangenciando a borda inferior do pedículo de L5; tipo III: a mesma linha passa pelo pedículo de L5.

do pedículo, no tipo II, está na altura do pedículo, e no tipo III, está acima do pedículo (► Fig. 3). Assim como na classificação prévia, o autor<sup>8</sup> considera pacientes do tipo III elegíveis para a abordagem TI. Foram considerados o tipo I e II como um grupo único de abordagem SI, e os casos tipo III como abordagem TI.

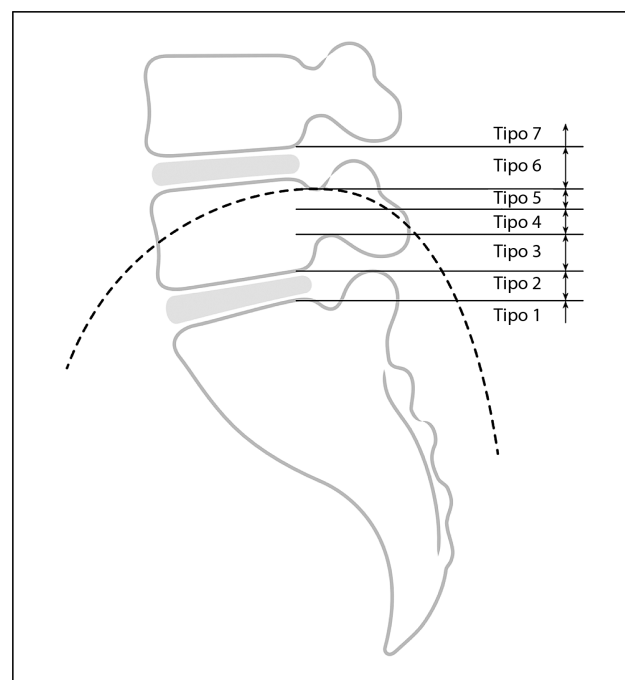
Choi et al.<sup>7</sup> apresentaram uma classificação semelhante, na qual a altura da crista ilíaca é definida por estruturas da coluna lombar. Os tipos 1, 2 e 3 foram considerados os de maior facilidade de acesso, sem necessidade de foraminoplastia, e esses tipos foram agrupados como indicados para abordagem SI. Nesta classificação, os tipos 5 e 6 estão acima da metade do pedículo de L5 e são associados a maior dificuldade no acesso TF, muitas vezes necessitando de foraminoplastia para o acesso, sendo estes dois tipos agrupados como SI com foraminoplastia. Foi acrescentado um



**Fig. 3** Classificação Patgaonkar em radiografia de perfil. Tipo 1: a linha entre o ponto mais alto da crista ilíaca e o centro do platô inferior de L5 passa abaixo do pedículo de L5; tipo 2: a mesma linha passa tangenciando a borda inferior do pedículo de L5; tipo 3: a mesma linha passa pelo pedículo de L5.

tipo 7 apenas para classificar cristas ilíacas acima do disco intervertebral L4-L5, que não foram previstos no estudo de Choi et al.<sup>7</sup> (► Fig. 4).

As características quantitativas avaliadas foram descritas segundo conduta e tipo de ilíaco para as incidências da escala



**Fig. 4** Classificação de Choi - o esquema representa uma radiografia de coluna lombar em perfil. Os 6 primeiros tipos de referência para altura de crista ilíaca foram definidas por Choi. O sétimo tipo foi acrescentado para incluir tipos não previsto para a classificação. A linha curva pontilhada representaria a sobreposição da crista ilíaca na radiografia.

**Tabela 1** Descrição das características avaliadas em todos os pacientes

Variável	Descrição
	(N = 167)
<b>Idade (anos)</b>	
média ± desvio padrão	49,1 ± 16,7
mediana (mínimo–máximo)	48 (18–87)
<b>Sexo, n (%)</b>	
Feminino	82 (49,1)
Masculino	85 (50,9)
<b>Tipo de íliaco, n (%)</b>	
Androide	75 (44,9)
Ginecoide	92 (55,1)
<b>Altura da crista ilíaca (cm)</b>	
média ± desvio padrão	25,9 ± 7,5
mediana (mínimo–máximo)	25 (6–46)
<b>Ângulo de borda do íliaco (graus)</b>	
média ± desvio padrão	23,4 ± 7,5
mediana (mínimo–máximo)	22 (7–46)
<b>CASTELLVI, n (%)</b>	
0	46 (27,5)
1a	9 (5,4)
2a	11 (6,6)
3a	4 (2,4)
1b	55 (32,9)
2b	32 (19,2)
3b	10 (6)

Patgaonkar,<sup>8</sup> e comparadas entre as categorias com o uso de testes *t* de Student, e segundo as categorias da escala Choi,<sup>7</sup> com uso de análise de variância (*analysis of variance*, ANOVA, em inglês),<sup>10</sup> enquanto o sexo e tipo de íliaco foram descritos segundo as condutas de cada escala, e a associação foi verificada com o uso de testes da razão de verossimilhanças.<sup>11</sup>

Correlações entre ACI e ABI foram calculadas através da correlação Spearman e ilustradas através do diagrama de dispersão. As análises foram feitas no IBM SPSS Statistics for Windows, versão 22.0 (IBM Corp., Armonk, NY, Estados Unidos) e os dados tabulados com Microsoft Excel 2013 (Microsoft Corp., Redmond, WA, Estados Unidos). Os testes foram realizados com nível de significância de 5%.

## Resultados

Foram obtidas 167 radiografias cujas características foram descritas na **–Tabela 1**. Na **–Tabela 2** estão descritas suas classificações conforme Patgaonkar et al.<sup>8</sup> e Choi et al.<sup>7</sup>

Na **–Tabela 3**, a abordagem TI pela escala de Pantgaonkar em radiografias de perfil foi maior nos homens do que nas mulheres ( $p < 0,001$ ). A ACI e o ABI foram, em média, maiores nos pacientes com abordagem de Pantgaonkar em radiografias

**Tabela 2** Descrição da Classificação conforme Patgaonkar e Choi em todos os casos

Variável: n (%)	Descrição
	(N = 167)
<b>Conduta PATGAONKAR frente</b>	
Suprailíaco	121 (72,5)
Transilíaco	46 (27,5)
<b>Conduta PATGAONKAR perfil</b>	
Suprailíaco	68 (40,7)
Transilíaco	99 (59,3)
<b>CHOI</b>	
1	1 (0,6)
2	5 (3)
3	8 (4,8)
4	23 (13,8)
5	37 (22,2)
6	69 (41,3)
7	24 (14,4)
<b>Conduta CHOI</b>	
Suprailíaco	37 (22,2)
Suprailíaco com foraminoplastia	106 (63,5)
Classificação 7 de Choi	24 (14,4)

de perfil e abordagem TI ( $p = 0,001$  e  $p = 0,003$ , respectivamente), havendo associação entre a Pantgaonkar em radiografias de perfil e o tipo de íliaco ( $p < 0,001$ ). Porém, após ajustados o sexo, idade e tipo de íliaco, as diferenças médias na altura e ângulo não continuaram mais estatisticamente significativas ( $p > 0,05$ ), provavelmente pela associação do tipo de íliaco com a Pantgaonkar em radiografias de perfil.

A **–Tabela 4** mostra que homens apresentaram maior frequência de íliaco androide, enquanto mulheres apresentaram maior frequência de pelve ginecoide ( $p < 0,001$ ). A ACI e o ABI foram maiores em pacientes com íliaco androide ( $p = 0,002$  e  $p = 0,011$ , respectivamente), mas após ajuste das características, apenas a ACI permaneceu em média estatisticamente maior nos íliacos androides ( $p = 0,039$ ).

A **–Tabela 5** mostra que, nos homens, a frequência da classificação 7 de Choi e suprailíaco com foraminoplastia foram estatisticamente maiores nos homens que nas mulheres. Consequentemente, a frequência da classificação 7 de Choi e suprailíaco com foraminoplastia foi estatisticamente maior nos tipos de íliaco androide ( $p = 0,001$ ). Houve diferença média na ACI e no ABI entre as condutas pelo Choi, quando não ajustados os valores ( $p = 0,001$  e  $p = 0,004$ , respectivamente). Porém, após ajuste das características pessoais e do tipo de íliaco, apenas a ACI apresentou diferença média estatisticamente significativa ( $p = 0,042$ ), sendo estatisticamente maior no TI que no SI ( $p = 0,041$ ), como demonstrado na **–Tabela 6**.

A **–Fig. 5** mostra que a correlação entre a ACI e o ABI é bastante alta para ambos os tipos de íliacos ( $r \approx 0,9$ ).

**Tabela 3** Descrição da conduta pela escala Patgaonkar perfil segundo as características pessoais e descrição das características quantitativas segundo conduta e resultado dos testes estatísticos

Variável	Conduta PATGAONKAR perfil		p	p*
	Suprailíaco	Transilíaco		
<b>Idade (anos)</b>			0,496**	
média ± desvio padrão	48 ± 15,1	49,8 ± 17,7		
mediana (mínimo–máximo)	47 (18–84)	48 (19–87)		
<b>Sexo, n (%)</b>			< 0,001	
Feminino	49 (59,8)	33 (40,2)		
Masculino	19 (22,4)	66 (77,6)		
<b>Tipo de Íliaco, n (%)</b>			< 0,001	
Androide	16 (21,3)	59 (78,7)		
Ginecoide	52 (56,5)	40 (43,5)		
<b>Altura da crista ilíaca (cm)</b>			0,001**	0,130
média ± desvio padrão	23,7 ± 6,4	27,4 ± 7,9		
mediana (mínimo–máximo)	24 (6–36)	26 (13–46)		
<b>Ângulo de borda do íliaco (graus)</b>			0,003**	0,134
média ± desvio padrão	21,4 ± 6,4	24,8 ± 7,9		
mediana (mínimo–máximo)	20,5 (7–42)	24 (11–46)		

Notas: Teste do qui-quadrado; \*\*teste t de Student; \*ajustado pela idade, sexo e tipo de íliaco.

**Tabela 4** Descrição do tipo de íliaco segundo as características pessoais e descrição das características quantitativas segundo conduta e resultado dos testes estatísticos

Variável	Tipo de Íliaco		p	p*
	Androide	Ginecoide		
<b>Idade (anos)</b>			0,181**	
média ± desvio padrão	47,1 ± 15,4	50,6 ± 17,6		
mediana (mínimo–máximo)	47 (19–81)	49 (18–87)		
<b>Sexo, n (%)</b>			< 0,001	
Feminino	1 (1,2)	81 (98,8)		
Masculino	74 (87,1)	11 (12,9)		
<b>Altura da crista ilíaca (cm)</b>			0,002**	0,039
média ± desvio padrão	27,9 ± 7,3	24,3 ± 7,3		
mediana (mínimo–máximo)	26 (15–46)	23 (6–46)		
<b>Ângulo de borda do íliaco (graus)</b>			0,011**	0,078
média ± desvio padrão	25 ± 7,7	22,1 ± 7,1		
mediana (mínimo–máximo)	24 (11–46)	21 (7–42)		

Notas: Teste do qui-quadrado; \*\*teste t de Student; \*ajustado pela idade e sexo.

## Discussão

A crista ilíaca é fundamental na abordagem TF no nível L5–S1, pois impede o acesso ao disco alinhado ao seu eixo. Isso exige que a abordagem do forame seja realizada com acesso SI ou TI. Por isso, foi feito o estudo morfológico da pelve baseado em três critérios: ACI, ABI e formato de bacia.

Enquanto Caldwell e Molloy apud Swelson<sup>12</sup> categorizaram a anatomia pélvica em quatro tipos—ginecoide,

androide, platipeloide e antropoide—com foco na avaliação do canal de parto, o presente estudo centrou-se especificamente nas variações androide e ginecoide, pois objetivo foi investigar se o formato do íliaco poderia influenciar no acesso TF.

Dessa forma, foi observado predomínio de pelve androide em homens (87,1%), e pelve ginecoide nas mulheres (98,8%). Os casos de pacientes do sexo feminino, além de apresentarem predominância de pelve ginecoide, também

**Tabela 5** Descrição da conduta pela escala Choi segundo as características pessoais e descrição das características quantitativas segundo conduta e resultado dos testes estatísticos

Variável	Conduta CHOI			p	p*
	Suprailíaco	Suprailíaco com foraminoplastia	Choi et al. <sup>7</sup>		
<b>Idade (anos)</b>				0,419**	
média ± desvio padrão	46,3 ± 14,4	49,3 ± 17,8	52 ± 14,6		
mediana (mínimo–máximo)	46 (18–72)	47 (19–87)	52 (23–84)		
<b>Sexo, n (%)</b>				< 0,001	
Feminino	29 (35,4)	45 (54,9)	8 (9,8)		
Masculino	8 (9,4)	61 (71,8)	16 (18,8)		
<b>Tipo de Ilíaco, n (%)</b>				0,001	
Androide	7 (9,3)	54 (72)	14 (18,7)		
Ginecoide	30 (32,6)	52 (56,5)	10 (10,9)		
<b>Altura da crista ilíaca</b>				0,001**	0,042
média ± desvio padrão	22,1 ± 6,9	26,5 ± 6,9	29,2 ± 9,1		
mediana (mínimo–máximo)	22 (6–36)	25,5 (13–46)	26,5 (15–46)		
<b>Ângulo de borda do ilíaco</b>				0,004**	0,097
média ± desvio padrão	20,4 ± 7,3	23,7 ± 6,6	26,7 ± 9,9		
mediana (mínimo–máximo)	20 (7–42)	22,5 (11–43)	26 (13–46)		

**Notas:** #Teste da razão de verossimilhanças; \*\*análise de variância; \*ajustado pela idade, sexo e tipo de ilíaco; A altura do ilíaco foi em média estatisticamente maior no transilíaco que suprailíaco ( $p = 0,041$ ).

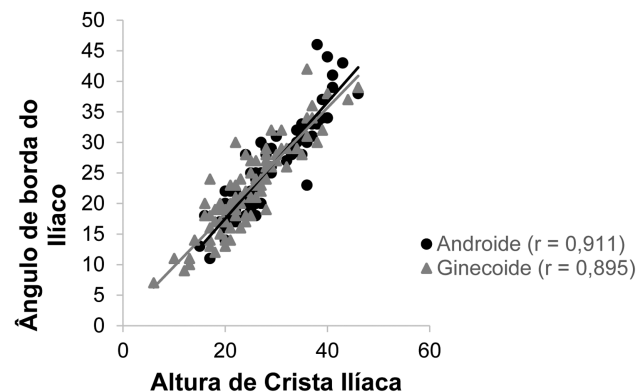
**Tabela 6** Comparação da altura de crista ilíaca conforme classificação de conduta de Choi

Altura de crista ilíaca					
Comparação	Diferença média	Erro padrão	p	IC (95%)	
				Inferior	Superior
Suprailíaco x Suprailíaco com foraminoplastia	-2,58	1,38	0,192	-5,93	0,77
Suprailíaco x Classificação 7 de Choi	-4,73	1,89	0,041	-9,30	-0,15
Suprailíaco com foraminoplastia x Classificação 7 de Choi	-2,14	1,56	0,513	-5,91	1,63

**Abreviatura:** IC, intervalo de confiança.

**Nota:** Ajustado pela idade, sexo e tipo de ilíaco.

apresentaram a ACI em média ( $24,3 \pm 7,3$  cm) menor que casos de pacientes do sexo masculino ( $27,9 \pm 7,3$  cm), confirmando o achado observado em outro estudo cujo resultado demonstrou que mulheres tendem a ter uma crista



**Fig. 5** Diagrama de dispersão entre a altura do ilíaco e o ângulo de borda do ilíaco segundo tipo de ilíaco e resultado das correlações.

ilíaca mais baixa que homens.<sup>13</sup> O ABI não apresentou diferença em nenhuma das variáveis pesquisadas.

A classificação de Patgaonkar et al.<sup>8</sup> nas radiografias em perfil avalia a ACI em relação à vértebra L5. Tanto o formato da pelve quanto o sexo do paciente demonstraram impacto significativo na escolha do método de acesso. No entanto, quando ajustes estatísticos são feitos levando em conta o sexo e o tipo de pelve, a diferença em relação à ACI e ao ABI torna-se insignificante. O fato de pacientes do sexo feminino estarem associados a menores ACI pode ter influenciado o resultado antes do ajuste.

Em suma, a classificação de Patgaonkar et al.<sup>8</sup> recomendou o acesso SI em 63 casos (37,7%), e o acesso TI em 104 casos (62,3%). Destes últimos, apenas 5 casos receberam indicação para a abordagem TI com base unicamente na radiografia anteroposterior. Outros 41 casos receberam indicação para acesso TI em ambas as vistas radiográficas, enquanto 58 casos foram indicados com base exclusiva na radiografia lateral.

À classificação de Choi et al.,<sup>7</sup> que avalia a ACI e a vértebra L5 com base nas radiografias em perfil, foi acrescentado um tipo 7 para abranger casos quando a ACI supera as estimativas da classificação original de Choi et al.<sup>7</sup> Tal qual na classificação de Patgaonkar,<sup>8</sup> observamos variações significativas relacionadas ao sexo e ao formato da pelve.

Após ajustar para sexo e tipo íliaco, constatamos que a diferença no ACI permaneceu significativa. O grupo com indicação de abordagem SI exibiu uma média de ACI de  $22,1 \pm 6,9$  cm, que foi significativamente menor que a média observada no grupo tipo 7 ( $29,2 \pm 9,1$  cm).

Além disso, avaliamos a correlação entre a ACI e o ABI por meio de um diagrama de dispersão. Foi observada uma forte correlação ( $r \approx 0,9$ ) entre as duas métricas, indicando que um aumento nos valores do ABI está associado a um aumento correspondente nos valores da ACI. Curiosamente, os valores numéricos para ABI e ACI tendem a ser próximos entre si.

Por último, 65,8% dos casos analisados não apresentaram megapófises, ou mostraram apenas padrões tipo 1a ou 1b de megapófises de acordo com a classificação de Castellvi, padrões estes que têm impacto mínimo no acesso TF.

## Conclusão

A crista íliaca elevada está associada a graduações mais altas da classificação de Choi. O ABI, apesar de ter boa correlação com a ACI, não apresentou a mesma diferença estatística entre as classificações.

### Suporte Financeiro

Os autores declaram que não receberam suporte financeiro de agências dos setores público, privado ou sem fins lucrativos para realizar este estudo.

### Conflito de Interesses

Os autores não têm conflito de interesses a declarar.

## Referências

- 1 Kambin P, Gellman H. Percutaneous Lateral Discectomy of the Lumbar Spine: A Preliminary Report. *Clin Orthop Relat Res* 1983; 174:127–132
- 2 Yeung AT. The Yeung percutaneous endoscopic lumbar decompressive technique (YESSTM). *J Spine* 2018;7;. Doi: 10.4172/2165-7939.1000408
- 3 Schubert M, Hoogland T. Die transforaminale endoskopische Nukleotomie mit Foraminoplastik bei lumbalen Bandscheibenvorfällen. *Oper Orthop Traumatol* 2005;17(06):641–661
- 4 Sairyo K, Egawa H, Matsuura T, et al. State of the art: Transforaminal approach for percutaneous endoscopic lumbar discectomy under local anesthesia. *J Med Invest* 2014;61(3-4):217–225
- 5 Osman SG, Marsolais EB. Endoscopic transiliac approach to L5-S1 disc and foramen. A cadaver study. *Spine (Phila Pa 1976)* 1997;22(11):1259–1263
- 6 Choi G, Kim JS, Lokhande P, Lee SH. Percutaneous endoscopic lumbar discectomy by transiliac approach: a case report. *Spine (Phila Pa 1976)* 2009;34(12):E443–E446
- 7 Choi KC, Kim JS, Ryu KS, Kang BU, Ahn Y, Lee SH. Percutaneous endoscopic lumbar discectomy for L5-S1 disc herniation: transforaminal versus interlaminar approach. *Pain Physician* 2013;16(06):547–556
- 8 Patgaonkar P, Datar G, Agrawal U, et al. Suprailiac versus transiliac approach in transforaminal endoscopic discectomy at L5-S1: a new surgical classification of L5-iliac crest relationship and guidelines for approach. *J Spine Surg* 2020;6(Suppl 1):S145–S154
- 9 Konin GP, Walz DM. Lumbosacral transitional vertebrae: classification, imaging findings, and clinical relevance. *AJNR Am J Neuroradiol* 2010;31(10):1778–1786
- 10 Kirkwood BR, Sterne JAC. *Essential Medical Statistics*. New York: John Wiley & Sons; 2010
- 11 Neter J, Kutner MH, Nachtsheim CJ, Wasserman W. *Applied linear statistical models*. 4th ed. New York: McGraw-Hill; 1996
- 12 Swenson PC. Anatomical variations in the female pelvis; the Caldwell-Moloy classification. *Radiology* 1947;48(05):527–528
- 13 Dzupa V, Konarik M, Knize J, et al. The size and shape of the human pelvis: a comparative study of modern and medieval age populations. *Ann Anat* 2021;237:151749